

Hydraulické chování otopných soustav s TRV

Hydraulic behaviour of heating systems with thermostatic control valves

Ing. Jiří BAŠTA, Ph.D.

ČVUT v Praze, Fakulta strojní, Ústav
techniky prostředí

Článek se zabývá hydraulickým chováním dvoutrubkové a jednotrubkové otopné soustavy při zavírání termostatických regulačních ventilů. Na příkladech s konkrétními hodnotami ukazuje rozdílné chování dvoutrubkové a jednotrubkové otopné soustavy.

Klíčová slova: vytápění, hydraulika, regulační ventil

Recenzent

Dr. Ing. Petr Fischer

The article deals with hydraulic behaviour of two-pipe and one-pipe heating systems under closing the thermostatic control valves. On examples with concrete values it points to different behaviours of one-tube and two-tube heating systems.

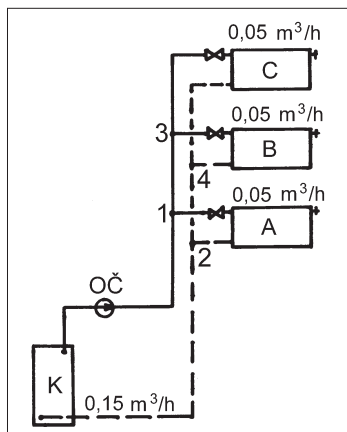
Key words: heating, hydraulics, control valve

Na zjednodušeném modelu dvoutrubkové vertikální otopné soustavy podle obr. 1 lze popsat hydraulické chování soustavy při zavírání termostatických regulačních ventilů otopních těles (TRV).

Pokusme se tedy zodpovědět základní otázky, které vyvstávají spolu s provozováním otopné soustavy s termostatickými regulačními ventily.

Položme si otázky:

- Jak se bude měnit tlaková ztráta potrubní sítě, resp. charakteristika potrubní sítě v případě, že se regulační ventily otopních těles A a B uzavřou?
- Jak se změní průtok otopním tělesem C, když jsou regulační ventily u otopních těles A a B uzavřeny a regulační ventil u otopního tělesa C nezavírá (resp. nemění svůj zdvih)?
- Jaká tlaková differenze (rozdíl tlaků) bude na uzavřeném regulačním ventilu otopného tělesa B?
- Jaký by mělo oběhové čerpadlo mít dopravní tlak, pokud chceme zachovat průtok otopním tělesem C roven $0,05 \text{ m}^3/\text{h}$ při uzavřených regulačních ventilech u otopních těles A a B? Jinými slovy, jaký je žádoucí dopravní tlak oběhového čerpadla v okamžiku, když regulační ventily B a C zavřou?



Obr. 1 – Zjednodušené schéma dvoutrubkové vertikální protiproudé otopné soustavy

Výpočtem tlakových ztrát byly určeny hodnoty ve sloupcích 2 a 3 (tab. 1). Ve sloupci 4 je vypočítán měrný hydraulický odpor C z hodnot ve sloupcích 2 a 3 ze vztahu:

Tab. 1 – Tabulka hodnot k obr. 1

1 Úsek	2 Tlaková ztráta Pa	3 Průtok m^3/h	4 C $\text{Pa}/(\text{m}^3 \cdot \text{h}^{-1})$
3-C-4	4 500	0,05	1 800 000
Z toho ventil	4 000	0,05	-
(1-3) + (4-2)	500	0,10	50 000
1-A-2	5 000	0,05	2 000 000
2-K-1	1 000	0,15	44 444
Celkem	6 000	0,15	266 667

$$C = \frac{\Delta p}{V^2}$$

Zjednodušeně se tak zde počítá s hydraulickým exponentem $z = 2$.

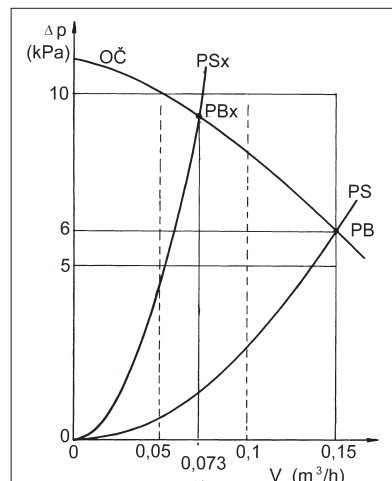
Ad a) a b)

Když bude regulační ventil A a B uzavřen, pak bude voda protékat pouze úseky 2-K-1, (1-3) + (4-2) a 3-C-4. V těchto úsecích protéká stejně množství vody, neboť jsou zapojeny sériově (za sebou). Pro sériové zapojení platí vztah $C_{cel}^1 = \sum C_i$. Součet měrných hydraulických odporů pro úseky 2-K-1, (1-3) + (4-2) a 3-C-4 z C hodnot uvedených v tab. 1 (sloupec 4) činí

$$C_{cel}^1 = 1 894 444 \text{ Pa}/(\text{m}^3 \cdot \text{h}^{-1})$$

Pokud jsou regulační ventily u otopních těles B a C uzavřeny, jsou úseky potrubní sítě 2-K-1 a 1-A-2 řazeny za sebou (sériově). Součet měrných hydraulických odporů podle tab. 1 nabývá hodnoty $C_{cel}^2 = 2 044 444 \text{ Pa}/(\text{m}^3 \cdot \text{h}^{-1})$.

V případě, že jsou regulační ventily u otopních těles A a B uzavřeny, tak získáváme novou charakteristiku potrubní sítě PS_x s měrným hydraulickým odporem $C_{cel}^1 = 1 894 444 \text{ Pa}/(\text{m}^3 \cdot \text{h}^{-1})$ (obr. 2) a nový pracovní bod PB_x . Dopravní množství čerpadla se sníží z $0,15 \text{ m}^3/\text{h}$ na pouhých $0,073 \text{ m}^3/\text{h}$. To je zároveň průtok otopním tělesem C.



Obr. 2 – Charakteristiky potrubní sítě dvoutrubkové otopné soustavy za jmenovitých podmínek – PS a při uzavírání regulačních ventilů – PS_x

Ze získaných výsledků můžeme usuzovat na charakteristické reakce dvoutrubkové otopné soustavy při otevírání a uzavírání regulačních ventilů u otopních těles. Následující závěry tak platí pouze pro dvoutrubkovou otopnou soustavu, neboť jednotrubková otopná soustava se chová hydraulicky jinak.

- Při zmenšení zdvihu ventilu, resp. uzavírání regulačních ventilů se průběh charakteristiky potrubní sítě mění na strmý.
- Dopravní množství neregulovaného čerpadla klesá, ale průtok neodstavěnými otopními tělesy naopak vzrůstá.

Ad c)

V připojeném potrubí otopného tělesa B (3-B a B-4) nevznikají v případě uzavření regulačního ventilu tlakové ztráty. Tlaková differenčna na ventilu B je shodná s tlakovou ztrátou, která bude na úseku potrubní sítě 3-C-4.

$$\Delta p_{3-C-4} = C_{3-C-4} \cdot \dot{V}^2 = 1800000 \cdot 0,073 = 9592 \text{ Pa.}$$

Tlaková differenčna na regulačním ventilu B se změní z 4 000 na 9 592 Pa. Při překročení určité hranice tlakové differenčny na regulačním ventilu otopného tělesa lze očekávat hlukové projevy. Dokud zůstává ventil uzavřen hlukové projevy nenastanou, jakmile začne otevírat, a jsme v oblasti malého zdvihu, nastává tento nepříznivý případ. Je zřejmé, že regulační ventil A je ještě v nepříznivější situaci. Čím blíže je napojený spotřebič (otopné těleso) po hydraulické cestě k čerpadlu, tím větší je tlaková differenčna na ventilu. Lze obecně konstatovat, že při uzavírání jednoho z ventilů narůstá tlaková differenčna na ostatních ventilech. To však platí pro případ, kde není čerpadlo regulováno a jednotlivé logické celky potrubní sítě nejsou osazeny regulátory tlakové differenčny.

Ad d)

Díky hydraulickým zásahům na regulačních ventilech A a B se zvýší průtok otopným tělesem C na $0,073 \text{ m}^3/\text{h}$. V reálné potrubní sítě začne v odpovídajícím čase uzavírat i regulační ventil u otopného tělesa C, aby regulačním zásahem nastavil požadovaný průtok $0,05 \text{ m}^3/\text{h}$. Zde žádané zmenšení zdvihu vede k dalšímu sklápení charakteristiky potrubní sítě PS_{xx} (obr. 3) a s tím spojenému dalšímu narůstu dopravního tlaku čerpadla (pracovní bod B). Regulační zásah regulačního ventilu C tak podmiňuje další zvýšení potřeby energie pro provoz čerpadla.

Energeticky smysluplné je nedosahovat hodnoty průtoku $0,05 \text{ m}^3/\text{h}$ škrcením na regulačním ventilu C, ale požadovaný průtok dosáhnout zároveň se snížením tlakové differenčny, resp. snížením dopravního tlaku čerpadla. Pro zcela otevřený regulační ventil C platí charakteristika potrubní sítě PS_x .

Příslušný měrný hydraulický odpor je $C_{cel}^1 = 1894444 \text{ Pa}/(\text{m}^3 \cdot \text{h}^{-1})$. Pro žádaný průtok $0,05 \text{ m}^3/\text{h}$ je tlaková ztráta rovna

$$\Delta p_{cel} = 1894444 \cdot 0,05^2 = 4735 \text{ Pa.}$$

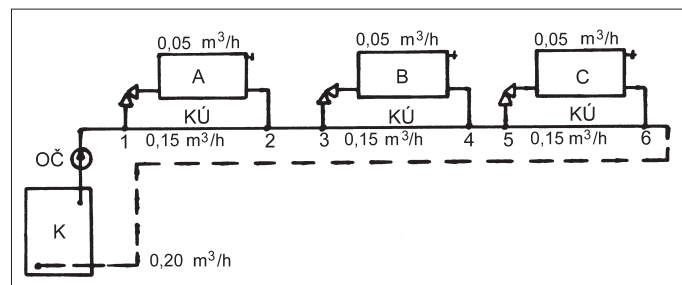
Tato tlaková ztráta musí být kompenzována tlakovou diferencí čerpadla, tj. charakteristika čerpadla by měla procházet bodem A (obr. 3). Nová technologie uplatňovaná při řízení čerpadel nám toto umožňuje (např. regulace $\Delta p - c$, $\Delta p - v$). Příslušná změna otáček oběžného kola čerpadla umožní nastavit charakteristiku čerpadla na bod A. Žádoucí je však znalost regulované charakteristiky PB-A.

Hydraulický vliv řízení čerpadel výše uvedeným způsobem je mnohem komplexnější než mohou naše výpočty ukázat. Senzor v čerpadle nemůže rozpoznat, kde v soustavě dochází k regulačním zásahům, které vyžadují redukci dopravního množství čerpadla např. na $0,05 \text{ m}^3/\text{h}$. Požadovaný dopravní tlak čerpadla 4735 Pa vznikne tehdy, když jsou otopná tělesa A a B uzavřeny

a a poslední otopné těleso C v potrubní sítí je protékáno vodou. Pokud však budeme požadovat průtok $0,05 \text{ m}^3/\text{h}$ otopným tělesem A při uzavřených otopných tělesech B a C, pak měrný hydraulický odpor nabývá hodnoty $C_{cel}^2 = 2044444 \text{ Pa}/(\text{m}^3 \cdot \text{h}^{-1})$. Celková tlaková ztráta a rovněž tak i požadovaný dopravní tlak čerpadla je $\Delta p_{cel}^2 = 2044444 \cdot 0,05^2 = 5111 \text{ Pa}$.

Výsledek ukazuje, že charakteristika čerpadla PB-A', podle které by čerpadlo mělo korigovat nárůst tlakové differenčny, nevykazuje jasné definovaný průběh. Nepříznivý případ nastává, jestliže čerpadlo reaguje především na nejbližší umístěný spotřebič (otopné těleso A) či naopak na nejdále umístěný (otopné těleso C). Je proto rozumné nespolehláhat u velkých hydraulických celků pouze na řízení čerpadla ($\Delta p - c$, $\Delta p - v$), ale osadit rovněž např. regulátory tlakové differenčny.

Analogicky jako u dvoutrubkové otopné soustavy popišme chování jednotrubkové otopné soustavy s jezdckým napojením otopných těles (obr. 4) v případě, že otopná tělesa A a B budou uzavřena.



Obr. 4 – Zjednodušené schéma jednotrubkové otopné soustavy s jezdckým napojením otopných těles (připsané hodnoty odpovídají otevření všech otopných těles)

Z výpočtu tlakových ztrát potrubní sítě byly určeny hodnoty v tab. 2 ve sloupcích 2 a 3. Sloupec 4 byl vypočten jako u dvoutrubkové otopné soustavy. V úsecích přes otopná tělesa 1-A-2, 3-B-4 a 5-C-6 má regulační ventil tlakovou ztrátu 1000 Pa. V rádku čtvrtém jsou uvedeny hodnoty pro úsek 5-6. Je to úsek potrubní sítě vyjadřující paralelní součet úseků 5-C-6 a 5-KU-6. U paralelních úseků se pro stanovení výsledné charakteristiky a tak i pro určení C hodnoty sčítají průtoky ($0,05 + 0,15 = 0,20 \text{ m}^3/\text{h}$) a tlaková ztráta k uzelům 5 a 6 musí být v obou paralelních větvích stejná (1500 Pa).

Tab. 2 – Tabulka hodnot k obr. 4

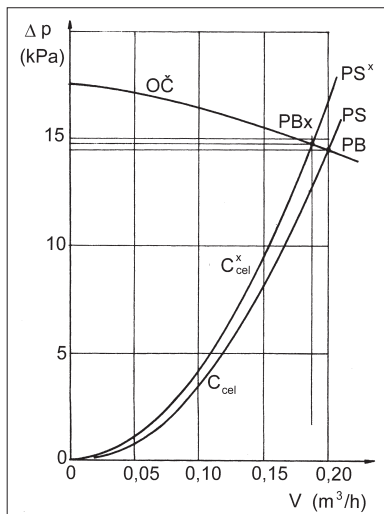
1	2	3	4
Úsek	Tlaková ztráta Pa	Průtok m^3/h	C $\text{Pa}/(\text{m}^3 \cdot \text{h}^{-1})$
1-A-2 = 3-B-4 = 5-C-6	1500	0,05	600 000
1-KU-2 = 3-KU-4 = 5-KU-6	1500	0,15	66 700
5-6 ^{x)}	1500	0,20	37 500
(2-3) + (4-5) + (6-K-1) = ZPS	10 000	0,20	250 000
Celkem	14 500	0,20	362 500

x) Součet paralelních úseků 5-C-6 + 5-KU-6.

Při uzavření regulačních ventilů A a B jsou krátké úseky KU pod otopními tělesy řazeny sériově s úsekem 5-6 (úsek KU) a zbytkem potrubní sítě (ZPS). V tomto případě je celkový měrný odpor roven

$$C_{cel}^x = C_{1-KU-2} + C_{3-KU-4} + C_{5-6} + C_{ZPS} = 66 700 + 66 700 + 37 500 + 250 000 = 420 900 \text{ Pa}/(\text{m}^3 \cdot \text{h}^{-1}).$$

Obě charakteristiky potrubní sítě pro jmenovitý provoz (PS) a pro případ uzavření dvou prvních otopných těles v hydraulické řadě (PS^x) jsou zakresleny v obr. 5.



Obr. 5 – Charakteristiky potrubní sítě jednotrubkové otopné soustavy s jezdeckým napojením otopných těles za jmenovitých podmínek – C_{cel} a v případě uzavírání regulačních ventilů – C_{cel}^x

otopné soustavy změní se rovněž nevýznamně průtok vody otopným tělesem s otevřeným ventilem.

Jak významně se sklápí charakteristika potrubní sítě PS_x (obr. 5) je dáné po- dílem tlakové ztráty úseku otopného tělesa včetně krátkého úseku pod otop- ným tělesem KÚ na celkové tlakové ztrátě okruhu a poměrem průtoku přes otopné těleso k průtoku v kmenové trubce.

Závěrem lze říci, že se jednotrubková otopná soustava s jezdeckým napojením otopných těles při zásazích regulačních ventilů chová hydraulicky mnohem sta- bilněji, než otopná soustava dvoutrubková. U jednotrubkové horizontální otop- né soustavy s jezdeckým napojením otopných těles tak nevyvstává požadavek na použití regulovaných čerpadel způsobem $\Delta p - c$, $\Delta p - v$.

Použité zdroje:

- [1] BAŠTA, J.: *Hydraulika a řízení otopných soustav*. Praha: Ediční středisko ČVUT, 2003. – 252 s., 209 obr., ISBN 80-01-02808-9.
- [2] BAŠTA, J., KABELE, K.: *Otopné soustavy teplovodní – sešit projektanta*. Druhé pře- pracované vydání. STP 2001, ISBN 80-02-01426-X, 77 s.
- [3] ROSS, H.: *Hydraulik der Wasserheizung*. R. Oldenbourg Verlag, München 1999. ISBN 3-486-26399-4.

* Hélium prozrazuje úniky energie

Héliová detekce netěsností (helium leak detection) potrubí jako přejímací zkouška nebo zkouška potrubních systémů v průmyslu není žádnou novinkou. Novou je technika hledá- ní ztrát energie z dálkového vytápění horkou vodou nebo parou, netěsnostmi vznikajícími chybou montáži, korozí potrubí nebo pohyby půdy. V technice vyvinuté ve Fraunhofer- vě ústavu pro životní prostředí, bezpečnost a energii (UMSICHT) v Oberhausenu se při podezření na úniky rozptýlí do vody nebo páry malá množství hélia.

V místech netěsností hélium stoupá na povrch půdy a zde je lze dokázat ve vzduchu nad terénem citlivými mobilními detektory. Proti dosud užívaným značkovacím látkám, jako jsou freony nebo radioizotopy, je hélium snadno dostupné, levné a ekologicky nezávad- né. První nasazení techniky se uskutečnilo ve vestfálském Iserlohnu.